

## B-22 遊水部付生け簀ケーソンの夏季におけるDO変動特性について

○牧田 佳巳<sup>1\*</sup>・山本 潤<sup>1</sup>・岡元 節雄<sup>2</sup>

<sup>1</sup>(独) 土木研究所寒地土木研究所(〒062-8602札幌市豊平区平岸1条3丁目1-34)

<sup>2</sup>北海道開発局釧路開発建設部(〒085-8551釧路市幸町10丁目)

\* E-mail: makita-y22aa@ceri.go.jp

### 1. はじめに

根室半島の先端に位置する温根元漁港において、港内波除堤先端部に蓄養機能を有した遊水部付生け簀ケーソン2箇(10m)が整備された。本研究では、当施設の適正な利用を図るため、現地における生け簀ケーソンの導水量およびケーソン内のDO変動について観測を行った。また、生け簀部で試験育成を行った稚ウニの酸素消費量を室内試験により明らかにするとともに、DO收支方程式を用いて観測結果を再現し、夏季における溶存酸素量の変動特性について検証した。

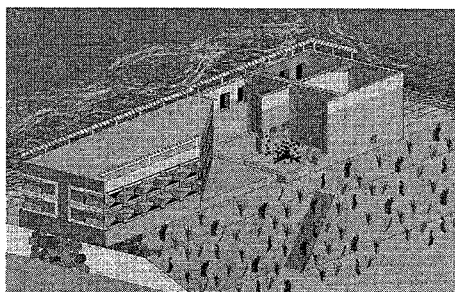


図-1 「遊水部付生け簀ケーソン」イメージ図

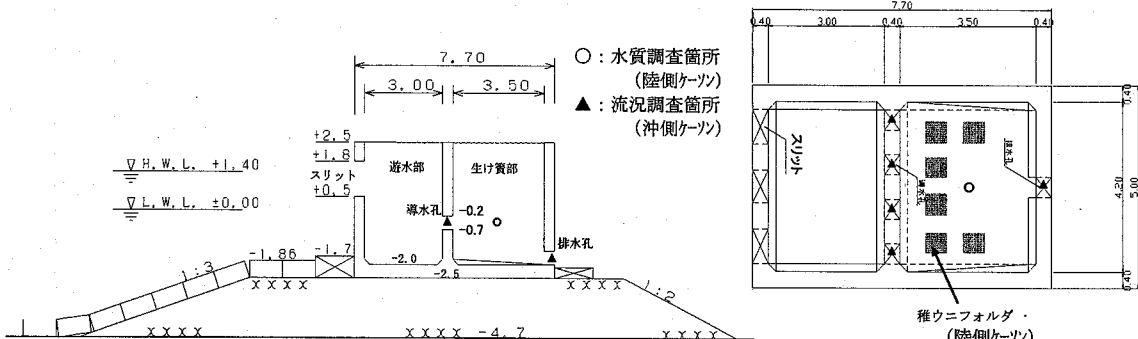


図-2 「遊水部付生け簀ケーソン」構造図・調査箇所図 (単位:m)

### 3. 調査研究の成果

#### (1) 稚ウニ酸素消費量試験結果

表-1に、稚ウニの酸素消費量を大きさ別に示す。これより、生け簀部内における小サイズの稚ウニ 36 万粒の消費量は概ね 1,400mg/hr となり、生け簀部の平均容積を 43m<sup>3</sup>とすると 1 時間当たり約 0.03mg/L と推察された。また、酸素量は時間とともにほぼ一定に減少する傾向にあり、稚ウニの酸素消費量に夜昼の違いは認められなかった。

表-1 稚ウニ酸素消費量 ※水温: 13.3°C~16.0°C

サイズ群	平均サイズ 體径 (mm)	個体数 混重量 (g)	試験時間 (時間)	酸素消費量 (mg)	酸素消費量		平均酸素消費量 (mg/g・時間)
					実測-平均値 (mg)	1 個体当り (mg/個体・時間)	
大	7.9	0.20	10	3.039	0.017		
			50	2	1.954	0.020	0.019
			30	2	1.867	0.031	
			6	14	0.845	0.010	0.097
小	3.9	0.03	100	2	0.852	0.004	
			30	15	1.106	0.002	0.004
			150	2	1.429	0.005	0.129

#### (2) 現地観測結果

##### a) 水質観測結果

図-3 に、港口および生け簀部の溶存酸素量の観測結果を示す。生け簀部の酸素量は港口に対し低い値で推移しており、観測期間中の 1 時間平均酸素量は港口の 8.1 mg/L に対し生け簀部は 7.4 mg/L であった。なお、水温と塩分濃度については両地点に差は見られなかった。

図-4 に、DO と潮位の日周変動を観測期間の時刻別平均として示した。生け簀部の酸素量は港口に比べ日中に増加し夜間に減少する日周変動が大きいことが確認された。この変動は水温変動とほぼ一致するが、海水出入量および潮位との関連性はほとんど認められなかった。室内試験から算定した稚ウニ 36 万粒の酸素消費量は 0.03 mg/L/hr 程度と非常に少ないとから、日周変動の要因として稚ウニ以外の生物等による酸素の消費と供給が予想以上に活発であったことが示唆された。なお、生け簀部内には稚ウニのほか、海藻類やサケ稚魚、カニなどの生物が確認されている。

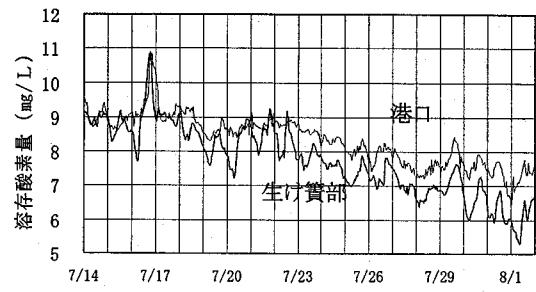


図-3 溶存酸素量観測結果

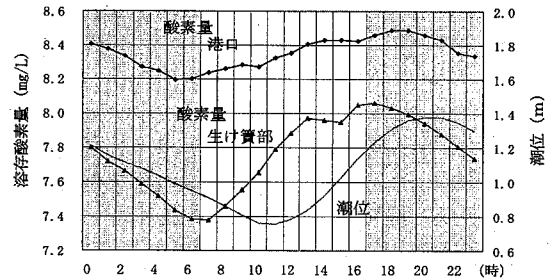


図-4 時刻別平均(19 日間 7/14~8/1)

##### b) 導水特性観測結果

図-5 に、導水孔と排水孔における流入出量を示した。流入出量は導水孔から排水孔の方向をプラスとし、各孔における平均流速に孔断面積(0.25 m<sup>2</sup>)を乗じて算出した。なお、導水孔の流入出量は 4 孔の合計を示している。

生け簀ケーソンは、スリット部から流入した海水が排水孔から排泄物や残餌とともに流出することを狙いとしており、本観測結果から概ね狙いとおりの流向が得られていることが示された。しかし、表-2 に示すように、生け簀部への流入量が生け簀部からの流出量を大きく上回る結果となった。これは、当施設への入射波の波向きによって導水孔付近に渦が生じ、導水流速に誤差が生じたためと考えられ、今後の課題である。

表-2 生け簀部 流入出量の収支(19 日間)

	流量(m <sup>3</sup> /19日間)		流入-流出
	流入量	流出量	
排水孔	1,995	6,872	-4,877
導水孔 (4孔計)	20,650	657	19,993
潮位変動	347	341	6
生け簀部流入出量	22,992	7,870	15,122

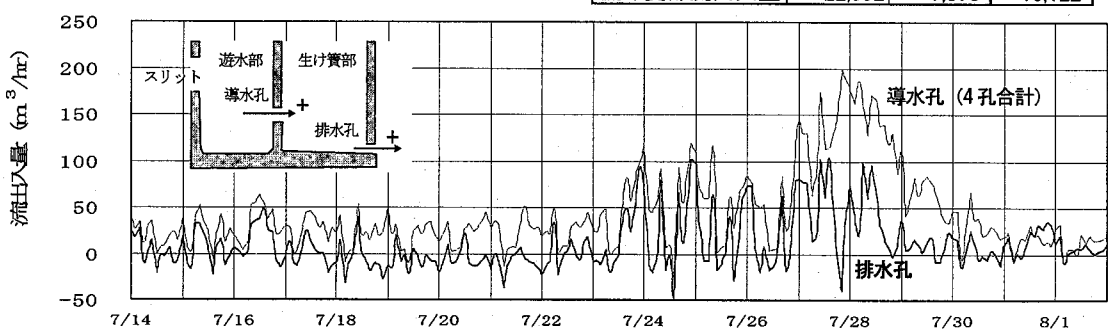


図-5 導水孔・排水孔の通過流量

### (3) DO収支方程式による日周変動量の推察

#### a) 計算方法

生け簀部において観測された酸素量の日周変動特性を検証するため、式1に示すDO収支方程式<sup>1)</sup>を用いて現地観測結果の再現を行った。

$$V \frac{dC}{dt} = q \cdot (C_0 - C) - K_1 \cdot R \cdot V - K'_1 \cdot C \cdot A + K_2 \cdot (C_s - C) \cdot A - (\alpha_0 - \alpha_1) \cdot V - kN \quad (式1)$$

ただし、Cは生け簀部DO推算値、C<sub>0</sub>は港口におけるDO実測値、C<sub>s</sub>はDO飽和値、qは導水量、Vはケーソンの容積、Aは同面積、kNは蓄養種(稚ウニ)の酸素消費量である。この式のうち、日周変動の要因となるパラメータは水中の脱酸素量( $K_1R$ )、底面脱酸素係数( $K'_1$ )、プランクトンによる消費・供給量( $\alpha_0, \alpha_1$ )である。ここでは、これらを一括して $K_1R$ とし、生け簀部日周変動を再現する $K_1R$ 値を推算した。

#### b) DO収支計算結果

海水交換量(q)を排水孔における出入量(両方向)と仮定し、図-4に示した生け簀部日周変動を再現する水中の脱酸素量( $K_1R$ )の検討を行った。

試行の結果、 $K_1R$ 値を夜間0.25mg/L/hr、日中0.05mg/L/hrとした場合、図-6の時刻別平均に示すように推算値は実測値の日周変動を最も良く再現した。

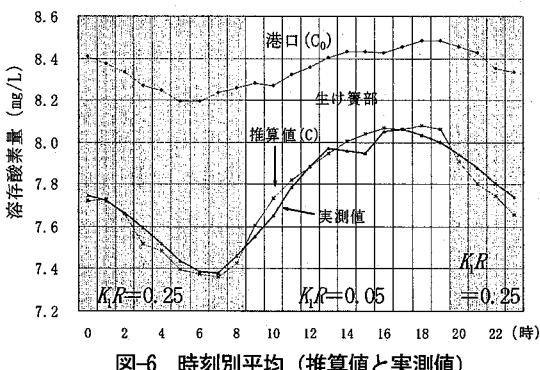


図-6 時刻別平均 (推算値と実測値)

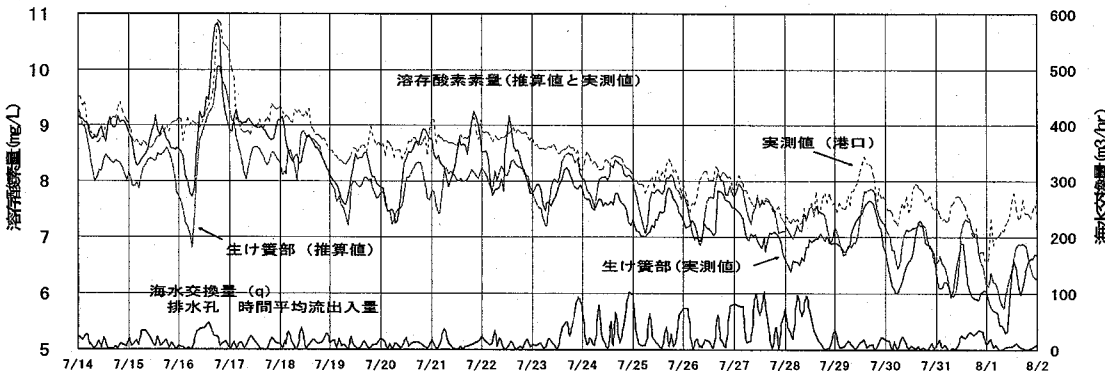


図-7 推算値と実測値の経時変化 ( $K_1R = 夜0.25, 昼0.05$ )

図-7に、推算値と実測値の経時変化を示す。推算値は海水交換量による効果を大きく見込んでいるため、導水量が少ない時に実測値と比較して、DOを過小に評価する傾向にある。このことは、推算値は実測値の危険側については概ね再現することを意味する。ただし、観測期間後半には水温上昇に伴い、今回用いた $K_1R$ 値をさらに高く設定し直す必要があることがわかる。

これより、夏期における蓄養可能量をDOの日最低値から推定する場合には、蓄養種による消費量(kN)のか、危険側を考慮する上である程度の脱酸素量( $K_1R$ )を見込む必要があることが示唆された。

### 3. 今後の課題

今回、現況を再現するのに用いた脱酸素量( $K_1R$ )0.25 mg/L/hrでは、海水交換がない場合8時間で生け簀内の酸素量が2mg/L低下する。また、生け簀容積を43m<sup>3</sup>とした場合の1時間当たり酸素消費量は172,000mgでエゾバフンウニの成体(消費量17mg/kg×0.1kg/個)10万個体分の消費量と同じとなる。中村ら<sup>2)</sup>は実験値からコイの飼育水の脱酸素量を0.23~0.75mg/L/hrとしているが、実際に生け簀内においてこれだけの消費があるとは考えにくい。この脱酸素量( $K_1R$ )は海水交換量の設定により大きく変わる。今回、海水交換量は排水孔における10分間平均流速を用いたが、導水孔や排水孔では数秒周期で流向が逆転する往復流であることから、今後、海水交換量算定手法について数値計算等を用いた検討を行う必要がある。

### 参考文献

- 1) 社団法人全国漁港漁場協会：漁港漁場の施設の設計の手引(2003年版)下巻
- 2) 中村充他(1976)：湾におけるDO収支に関する研究  
第23回海岸工学講演会論文集